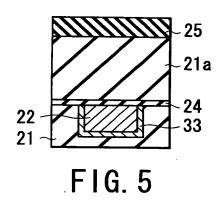
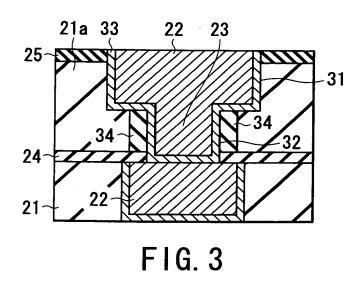


FIG. 2





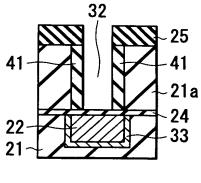
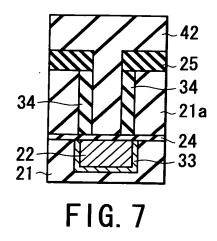
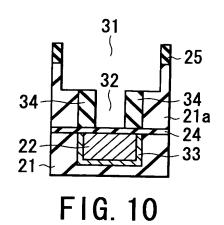
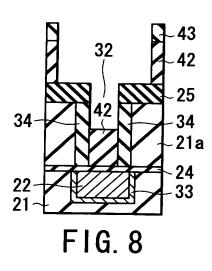
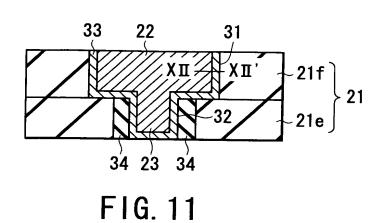


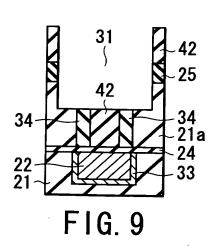
FIG. 6

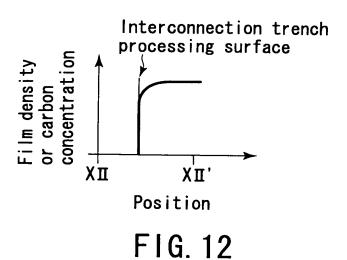












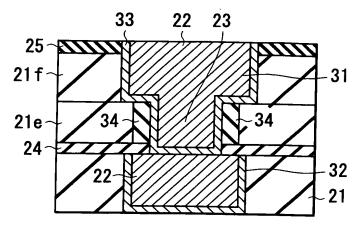
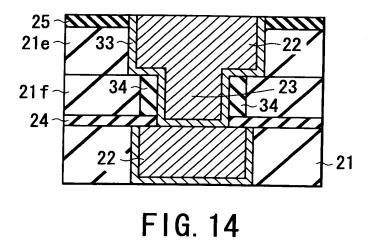


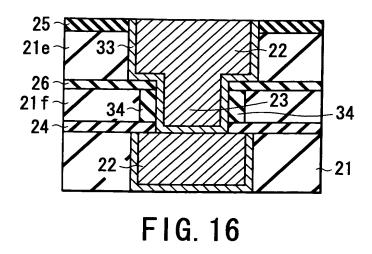
FIG. 13

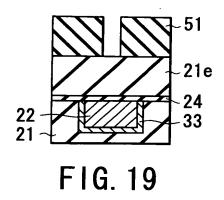


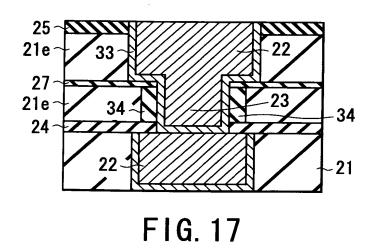
25 21f 33 26 21e 34 24 22 22 21 21

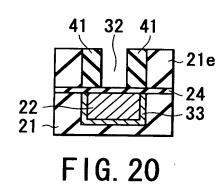
FIG. 15

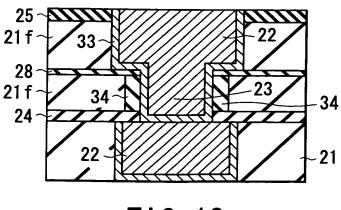
OBLON, SPIVAK, ET AL DOCKET #: 250890US2S INV: Takahiko YOSHIZAWA, et al. SHEET <u>4</u> OF <u>7</u>













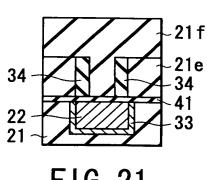
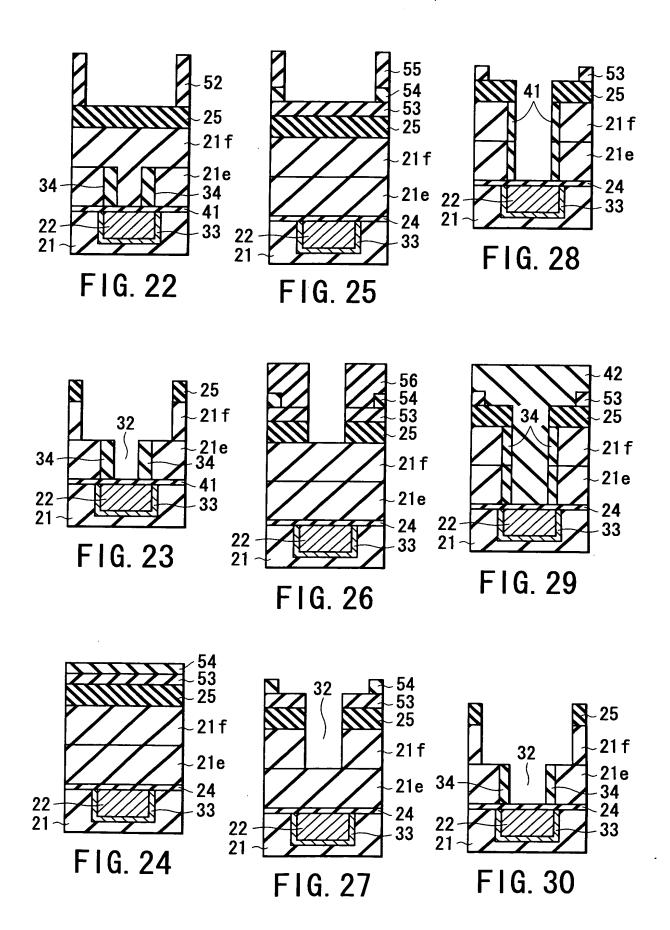
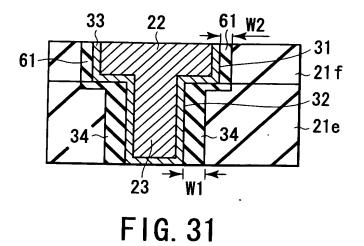
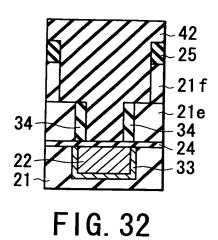
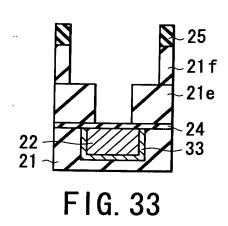


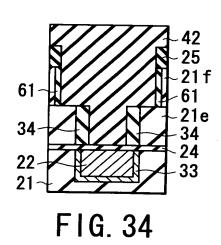
FIG. 21











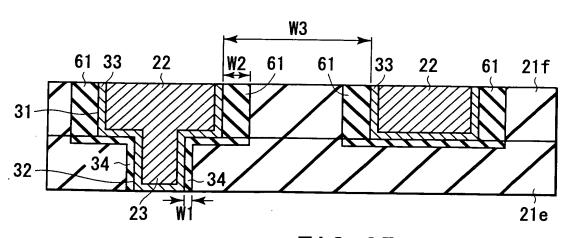


FIG. 35

